

Faculdade de Engenharia da Universidade do Porto



**FEUP** FACULDADE DE ENGENHARIA  
UNIVERSIDADE DO PORTO

**Controlo de um manipulador antropomórfico de 3 eixos**  
Relatório do Trabalho Prático

**Unidade Curricular**

Robótica Industrial

**Autores**

Alberto Santos | **up201708979**

Ana Alves | **up201506789**

Francisco Neves | **up201404576**

Rita Ferreira | **up201604728**

Junho 2020

# Índice

1. Introdução.....	2
2. Cinemática Direta .....	2
2.1. Introdução e Cálculos.....	2
2.2. Simulador.....	4
3. Cinemática Inversa .....	6
3.1. Introdução e Cálculos.....	6
3.2. Simulador.....	9
4. Jacobiano .....	11
4.1. Introdução e Cálculos.....	11
4.2. Simulador.....	13
5. Conclusões.....	18

## 1. Introdução

No âmbito da unidade curricular Robótica Industrial, foi proposto um trabalho prático que consistia no controlo de um manipulador antropomórfico de 3 eixos.

Para este efeito, utilizou-se o simulador SimTwo2020 com o cenário “Manipulator3DoF” disponibilizado pelos docentes.

O simulador disponibiliza um modelo 3D do braço robótico e um ambiente de programação em linguagem Pascal que permite a programação e visualização gráfica do controlo programado.

O manipulador robótico em estudo possui as seguintes características:

- 3 articulações rotativas
- Comprimento do 1º ligamento (da base para a 1ª articulação): 0.55m
- Comprimento do 2º ligamento (da 1ª articulação para a 2ª articulação): 0.4m
- Comprimento do 3º ligamento (da 2ª articulação para a 3ª articulação): 0.325m

O objetivo do trabalho é a implementação de três processos matemáticos usados em robótica para calcular variáveis de controlo:

- Cinemática direta
- Cinemática inversa
- Jacobiano

## 2. Cinemática Direta

### 2.1. Introdução e Cálculos

Neste capítulo, utilizar-se-á a cinemática direta para calcular a posição cartesiana da extremidade do manipulador.

A cinemática direta é um processo matemático que calcula a posição cartesiana do efetuador a partir dos valores dos parâmetros das articulações. Esses parâmetros dependem do tipo de articulações: são orientações angulares, posições cartesianas, ou velocidades angulares se forem articulações rotativas, prismáticas ou contínuas, respetivamente.

Assim, a partir da figura 1, com os eixos devidamente desenhados e com recurso ao método de Denavit-Hartenberg, obtemos a tabela 1.

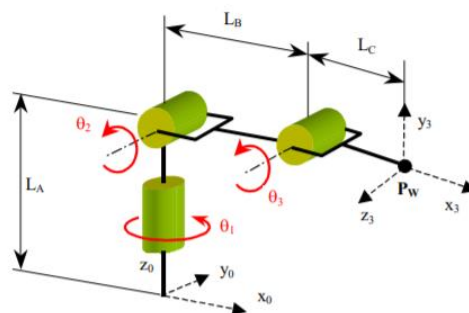


Figura 1 - Manipulador Antropomórfico de 3 eixos

i	$\theta$	d	a	$\alpha$
0	$\theta_1$	d1	0	$-90^\circ$
1	$\theta_2$	0	d2	0
2	$\theta_3$	0	d3	0

Tabela 1

O método *Denavit-Hartenberg*, afirma que cada transformação homogênea tem a seguinte forma:

$$A_i = Rot_{z,\theta_i} Trans_{z,d_i} Trans_{x,a_i} Rot_{x,\alpha_i}$$

$$= \begin{bmatrix} c\theta_i & -s\theta_i & 0 & 0 \\ s\theta_i & c\theta_i & 0 & 0 \\ 0 & 0 & 1 & 0 \\ 0 & 0 & 0 & 1 \end{bmatrix} \begin{bmatrix} 1 & 0 & 0 & 0 \\ 0 & 1 & 0 & 0 \\ 0 & 0 & 1 & d_i \\ 0 & 0 & 0 & 1 \end{bmatrix} \begin{bmatrix} 1 & 0 & 0 & a_i \\ 0 & 1 & 0 & 0 \\ 0 & 0 & 1 & 0 \\ 0 & 0 & 0 & 1 \end{bmatrix} \begin{bmatrix} 1 & 0 & 0 & 0 \\ 0 & c\alpha_i & -s\alpha_i & 0 \\ 0 & s\alpha_i & c\alpha_i & 0 \\ 0 & 0 & 0 & 1 \end{bmatrix}$$

Que resulta:

$$A_i = \begin{bmatrix} c\theta_i & -s\theta_i & c\alpha_i & s\theta_i s\alpha_i & a_i c\theta_i \\ s\theta_i & c\theta_i & c\alpha_i & -c\theta_i s\alpha_i & a_i s\theta_i \\ 0 & s\alpha_i & c\alpha_i & d_i \\ 0 & 0 & 0 & 1 \end{bmatrix}$$

Logo,

$${}^0A_1 = [Rot_{z,\theta_1} * Trans_{z,d_1} * Trans_{x,0} * Rot_{x,90}];$$

$${}^1A_2 = [Rot_{z,\theta_2} * Trans_{z,0} * Trans_{x,d_2} * Rot_{x,0}];$$

$${}^2A_3 = [Rot_{z,\theta_3} * Trans_{z,0} * Trans_{x,d_3} * Rot_{x,0}].$$

Assim, podemos obter a matriz  ${}^0A_3$ , representada a seguir, a partir da multiplicação de  ${}^0A_1$  por  ${}^1A_2$  por  ${}^2A_3$ .

$${}^0A_3 = \begin{bmatrix} C1C2C3 - C1S2S3 & -S3C1C2 - C3C1S2 & s1 & 0.325C1C2C3 - 0.325C1S2S3 + 0,4C1C2 \\ C2S1C3 - S1S2S3 & -S3C2S1 - C3S1S2 & -C1 & 0.325C3C2S1 - 0.325S3S1S2 + 0,4C2S1 \\ C3S2 + C2S3 & -S3S2 + C3C2 & 0 & 0.325C3S2 + 0.325S3C2 + 0,4S2 + 0.55 \\ 0 & 0 & 0 & 1 \end{bmatrix}$$

Onde:

$$C1=\cos(\theta_1); C2=\cos(\theta_2); C3=\cos(\theta_3); S1=\sin(\theta_1); S2=\sin(\theta_2); S3=\sin(\theta_3).$$

## 2.2. Simulador

Em relação à implementação em código, a seguinte função DK3, foi criada e devidamente comentada:

```
function DK3(Thetas: matrix): matrix;
var
  A01, A12, A23, A03 :Matrix; // DH matrix variables
  XYZ_column_vector :Matrix; // position of the end effector vector
begin
  // Compute the homogeneous DH transformation matrixes
  // using DHMat function:
  // parameters: a, alpha, d, theta
  // return: DH transformation matrix
  A01 := DHMat(0, -pi*0.5, d1 , Mgetv(Thetas,0,0));
  A12 := DHMat(d2, 0, 0, Mgetv(Thetas,1,0));
  A23 := DHMat(d3, 0, 0, Mgetv(Thetas,2,0));

  // Compute the DH transformation matrix between base joint and end-effector
  A03 := MMult(MMult(A01,A12),A23);

  // Get the position of the end-effector from the last column of A03 matrix
  XYZ_column_vector := Mzeros(3,1);
  Msetv(XYZ_column_vector, 0, 0, Mgetv(A03, 0, 3));
  Msetv(XYZ_column_vector, 1, 0, Mgetv(A03, 1, 3));
  Msetv(XYZ_column_vector, 2, 0, Mgetv(A03, 2, 3));

  // return the position vector
  result := XYZ_column_vector;
end;
```

Como o braço antropomórfico em estudo consiste em 3 articulações rotativas, a função recebe como entrada um vetor coluna com os 3 ângulos das articulações em radianos ( $\theta_1$ ,  $\theta_2$ ,  $\theta_3$ ). Como output, a função retorna a posição do efetuador (x, y, z).

Abaixo demonstram-se dois exemplos de uso da função DK3.

As seguintes figuras são *snapshots* retirados à *sheet* e ao ambiente gráfico do programa SimTwo.

Exemplo 1:

Tendo como input:

- Ângulo da articulação 1: 20°
- Ângulo da articulação 2: 10°
- Ângulo da articulação 3: -20°

Direct
20
10
-20

A função responde com o output:

- Posição em X do efetuador: 0.671 m
- Posição em Y do efetuador: 0.244 m
- Posição em Z do efetuador: 0.537 m

DK
0.671
0.244
0.537

E a representação gráfica da posição do braço:

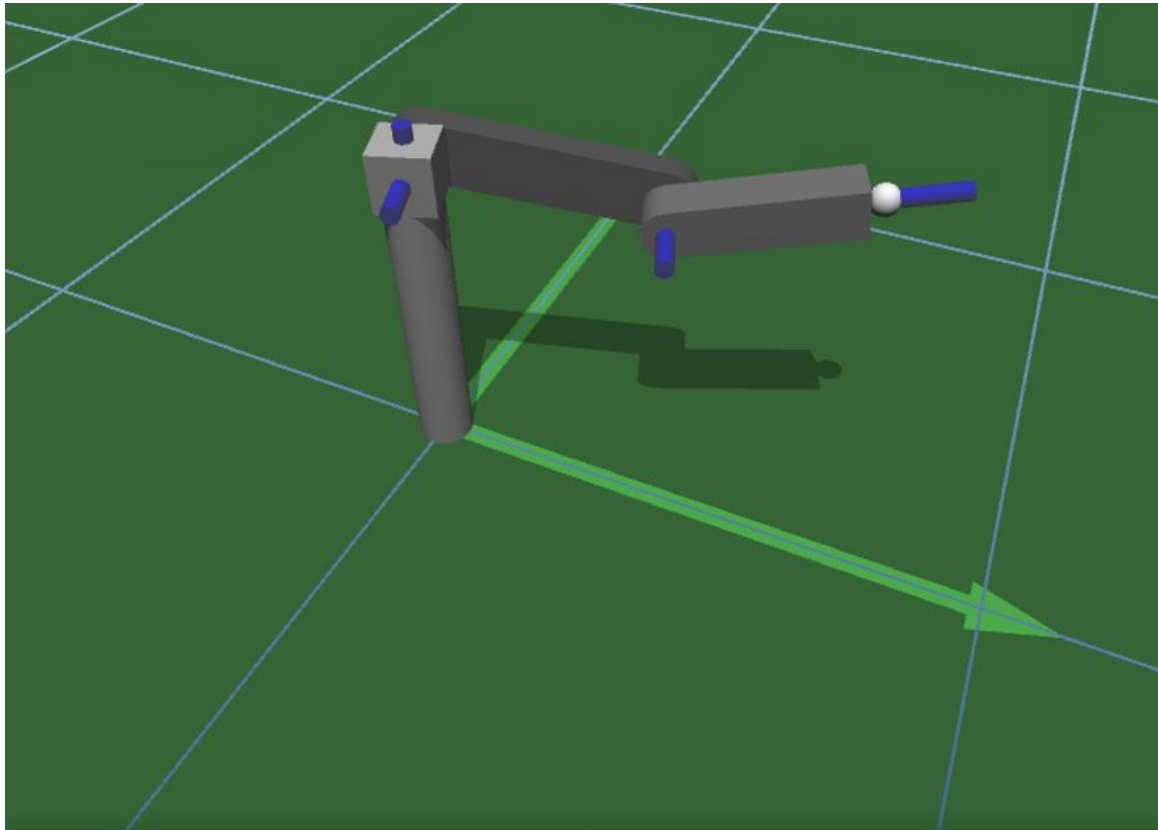


Figura 2 - Representação gráfica da posição do braço para o exemplo 1 da cinemática direta (o eixo X é o eixo verde-claro que aponta para a direita. O eixo Y é o eixo verde-claro o que aponta para cima)

Exemplo 2:

Tendo como input:

- Ângulo da articulação 1:  $-30^\circ$
- Ângulo da articulação 2:  $-10^\circ$
- Ângulo da articulação 3:  $20^\circ$

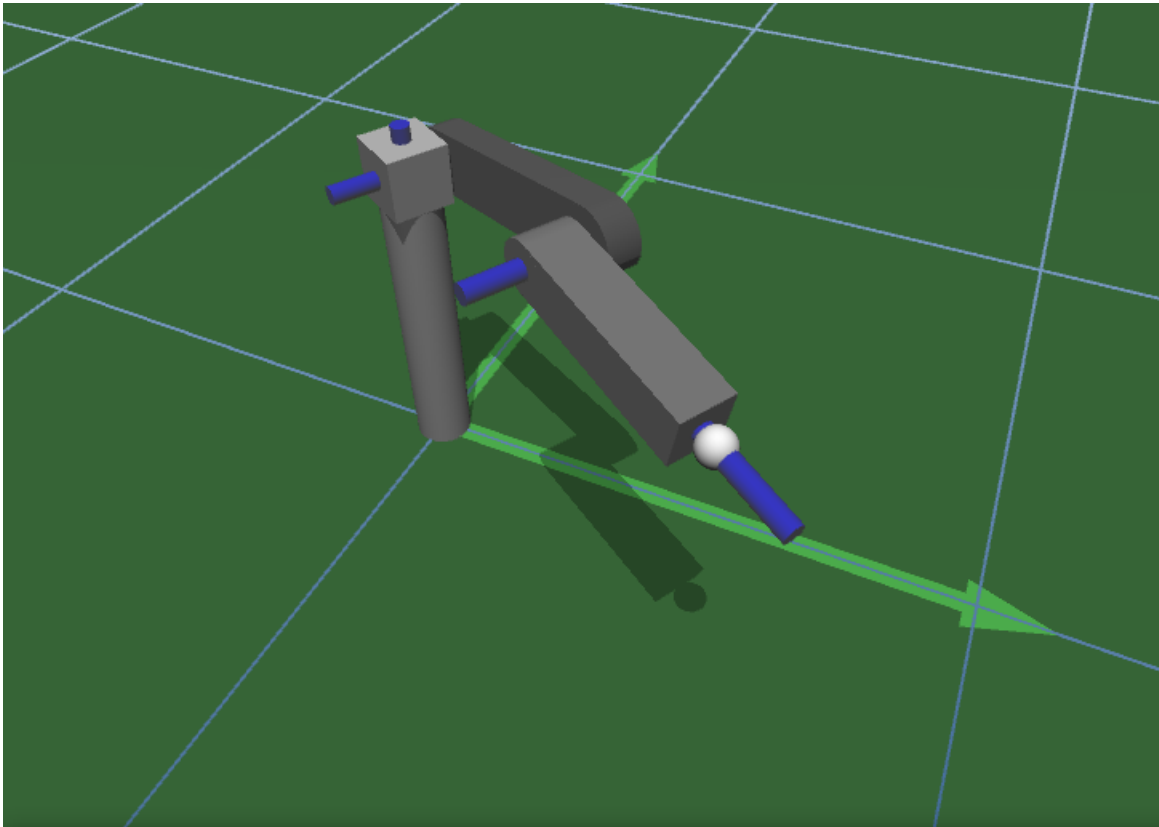
Direct
-30
-10
20

A função responde com o output:

- Posição em X do efetuador: 0.618 m
- Posição em Y do efetuador: -0.357 m
- Posição em Z do efetuador: 0.563 m

DK
0.618
-0.357
0.563

E a representação gráfica da posição do braço:



*Figura 3 - Representação gráfica da posição do braço para o exemplo 2 da cinemática direta (o eixo X é o eixo verde-claro que aponta para a direita. O eixo Y é o eixo verde-claro o que aponta para cima)*

### 3. Cinemática Inversa

#### 3.1. Introdução e Cálculos

Neste capítulo, utilizar-se-á a cinemática inversa para calcular os valores dos parâmetros de cada articulação (no caso específico do problema, esses parâmetros são os ângulos das articulações rotativas) de modo a que a extremidade do manipulador se posicione num dado ponto cartesiano do espaço 3D. Ao contrário da cinemática direta, em que se teve como entrada os parâmetros das articulações e como saída a posição cartesiana do efetuador, neste método vamos ter como entrada as posições cartesianas do efetuador e como saída os ângulos das articulações.

Com recurso a trigonometria e à lei dos cossenos, demonstrar-se-á a seguir como obter cada ângulo de articulação.

- Começamos pela determinação do 1º ângulo (o ângulo da 1ª articulação). Chamaremos a esse parâmetro  $\theta_1$ . Pode observar-se na figura abaixo uma relação direta entre a posição x e y do efetuador e a altura z do efetuador para determinar o ângulo  $\theta_1$ :

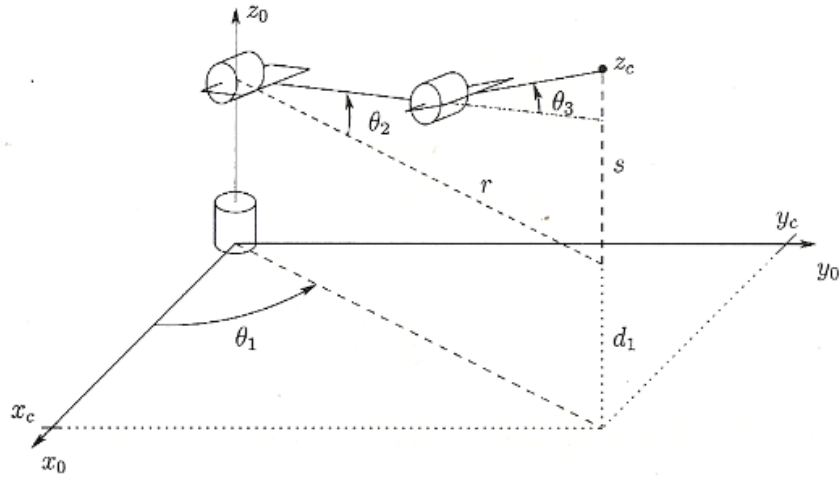


Figura 4 - Representação dos ângulos  $\theta_1$ ,  $\theta_2$  e  $\theta_3$  no espaço

Usar-se-á a função  $\text{Atan2}$  com vista a questões de normalização de ângulos.  $\theta_1$  obtém-se então da seguinte forma:

$$\begin{aligned} z &= z_c \\ y &= y_c \\ x &= x_c \\ s &= z - d_1 \\ c^2 &= s^2 + r^2 \\ r &= \sqrt{x^2 + y^2} \\ \theta_1 &= \text{Atan2}\left(\frac{y}{x}\right) \end{aligned}$$

- Passemos agora à determinação do 2º ângulo (o ângulo da 2ª articulação). Chamaremos a esse parâmetro  $\theta_2$ . Pode observar-se na figura abaixo uma relação direta entre o ângulo  $\Phi$ , o ângulo  $\beta$  e o ângulo  $\theta_2$ . Tira-se a seguinte relação:

$$\theta_2 = \Phi - \beta$$

Para obter  $\beta$ , e tendo em conta a notação das duas figuras abaixo, usar-se-á a lei dos cossenos e obtém-se a seguinte relação:

$$d_3^2 = d_2^2 + c^2 - 2d_2d_3 \cos(\beta)$$

$$\beta = \cos^{-1}\left(\frac{c^2 + d_2^2 - d_3^2}{2d_2c}\right)$$



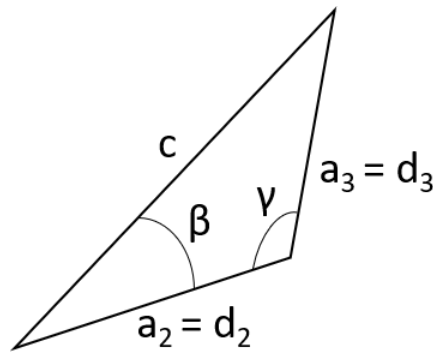


Figura 5 - Representação do ângulo  $\beta$

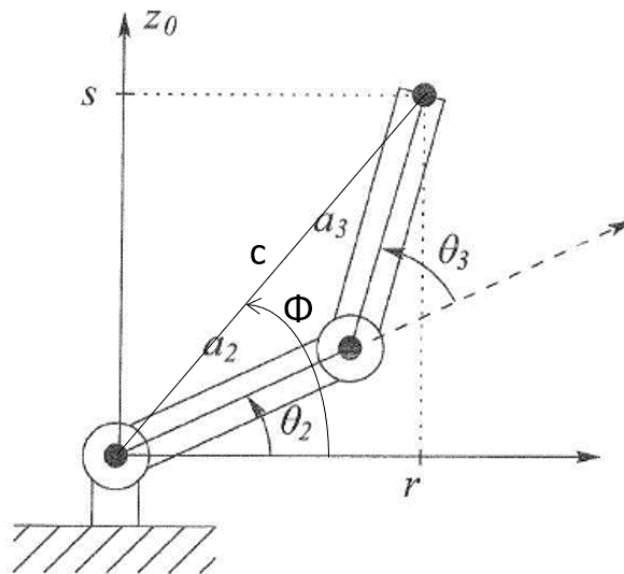


Figura 6 - Representação do ângulo  $\Phi$

Para obter  $\Phi$ , usar-se à a relação direta entre  $s$  e  $r$ :

$$\Phi = \text{Atan2}\left(\frac{s}{r}\right) = \text{Atan2}\left(\frac{z - d_1}{\sqrt{x^2 - y}}\right)$$

- Concluiremos com o cálculo 3º ângulo (o ângulo da 3ª articulação). Chamaremos a esse parâmetro  $\theta_3$ . Pode observar-se na figura abaixo uma relação direta entre o ângulo  $\gamma$  e  $\theta_3$ . Tira-se a seguinte relação:

$$\theta_3 = \pi - \gamma$$

Para obter  $\gamma$ , usar-se-á a lei dos cossenos novamente:

$$c^2 = d_2^2 + d_3^2 - 2d_2d_3 \cos(\gamma)$$

$$\gamma = \cos^{-1}\left(\frac{c^2 - d_2^2 - d_3^2}{2d_2d_3}\right)$$

**Nota:** A cinemática inversa tem várias soluções possíveis para diferentes configurações de braço. Escolheu-se a configuração “*Left Arm Elbow Down*”, logo todo o controlo funcionará para operações com o braço à esquerda e de cotovelo para baixo como o próprio nome da configuração indica.

## 3.2. Simulador

Em relação á implementação em código, a seguinte função IK3, foi criada e devidamente comentada:

```
function IK3(XYZ: matrix): matrix;
var
  beta, phi, s, r, c, d, x, y, z, num, den, Thetal, Theta2, Theta3: double;
  Thetas: Matrix;
begin
  // desired positions
  x := Mgetv(XYZ, 0, 0);
  y := Mgetv(XYZ, 1, 0);
  z := Mgetv(XYZ, 2, 0);

  // auxiliar terms
  s := z - dl;
  r := sqrt(sqr(x) + sqr(y));
  c := sqrt(sqr(s) + sqr(r));
  num := sqr(c) - Sqr(d2) - Sqr(d3);
  den := 2 * d2 * d3;
  phi := Atan2(s,r);
  beta := arccos((sqr(c) + Sqr(d2) - Sqr(d3)) / (2 * d2 * c));

  // angles computation
  Thetal := Atan2(y,x);
  Theta2 := -(phi - beta);
  Theta3 := -arccos(num/den);
  Thetas := Mzeros(3, 1);
  Msetv(Thetas, 0, 0, Thetal);
  Msetv(Thetas, 1, 0, Theta2);
  Msetv(Thetas, 2, 0, Theta3);

  //return the angles vector
  result := Thetas;
end;
```

A função recebe como input um vetor coluna com as 3 posições cartesianas (x, y, z) do efetuador e como output retorna os ângulos das articulações pretendidos ( $\theta_1$ ,  $\theta_2$ ,  $\theta_3$ ) para obter a posição desejada do efetuador.

Abaixo demonstram-se dois exemplos de uso da função IK3.

**Nota:** A implementação de  $\theta_2$  e  $\theta_3$  no código é simétrica à representação matemática descrita no capítulo 3.1., visto que o simulador tem como convenção o crescimento dos ângulos no sentido horário enquanto que nas equações convencionou-se o crescimento dos ângulos no sentido anti-horário.

As seguintes figuras são *snapshots* retirados à *sheet* e ao ambiente gráfico do programa SimTwo.

Exemplo 1:

Tendo como input:

- Posição em X do efetuador: 0.685 m
- Posição em Y do efetuador: 0.121 m
- Posição em Z do efetuador: 0.470 m

indirect
0.685
0.121
0.470

A função responde com o output:

- Ângulo da articulação 1:  $10^{\circ}$
- Ângulo da articulação 2:  $20,1^{\circ}$
- Ângulo da articulação 3:  $-30,2^{\circ}$

IK
10.0
20.1
-30.2

E a representação gráfica da posição do braço:

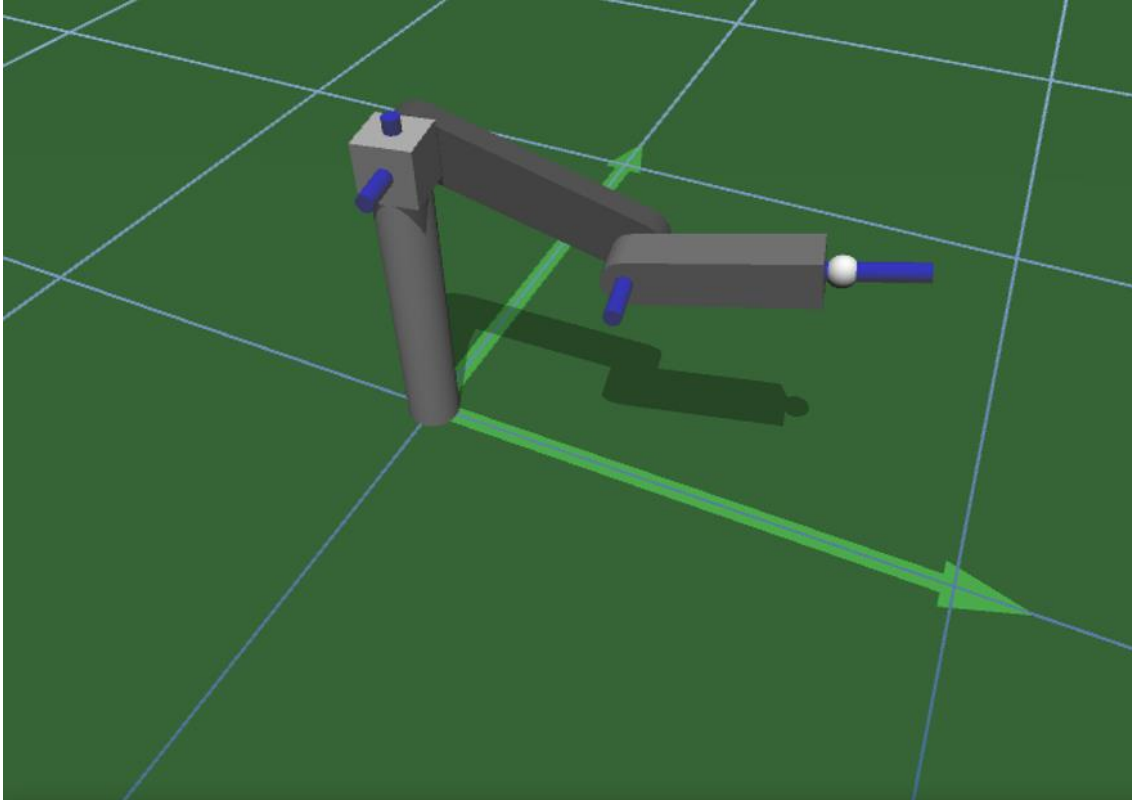


Figura 7 - Representação gráfica da posição do braço para o exemplo 1 da cinemática inversa (o eixo X é o eixo verde-claro que aponta para a direita. O eixo Y é o eixo verde-claro o que aponta para cima)

Exemplo 2:

Tendo como input:

- Posição em X do efetuador: 0.589 m
- Posição em Y do efetuador: -0.214 m
- Posição em Z do efetuador: 0.349 m

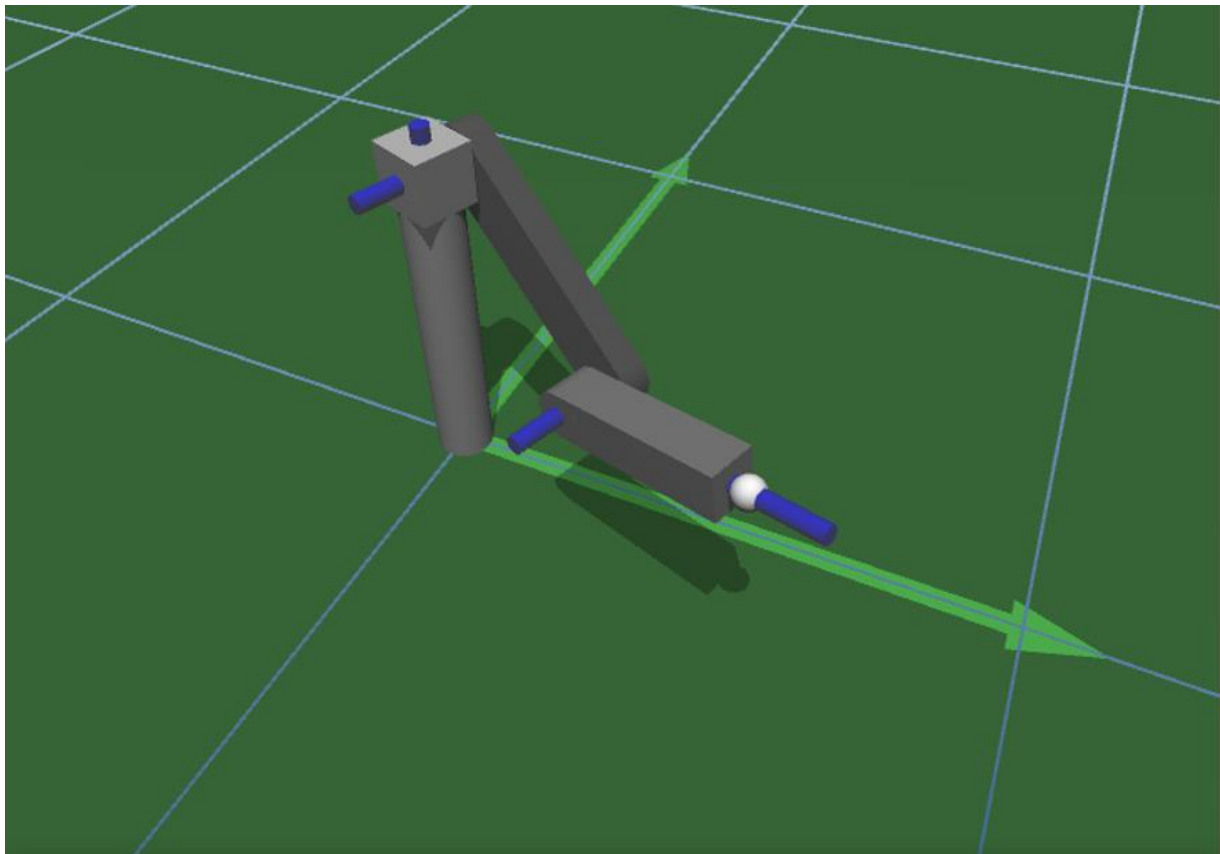
indirect
0.589
-0.214
0.349

A função responde com o output:

- Ângulo da articulação 1:  $-20^{\circ}$
- Ângulo da articulação 2:  $40^{\circ}$
- Ângulo da articulação 3:  $-49,9^{\circ}$

IK
-20.0
40.0
-49.9

E a representação gráfica da posição do braço:



*Figura 8 - Representação gráfica da posição do braço para o exemplo 2 da cinemática inversa (o eixo X é o eixo verde-claro que aponta para a direita. O eixo Y é o eixo verde-claro o que aponta para cima)*

## 4. Jacobiano

### 4.1. Introdução e Cálculos

Neste capítulo, vamos utilizar o Jacobiano do controlador para calcular a velocidade a impor a cada articulação de modo a ter a extremidade do manipulador a mover-se com uma determinada velocidade linear.

O Jacobiano é dado por:

$$\begin{bmatrix} v_n^0 \\ w_n^0 \end{bmatrix} = \begin{bmatrix} J_v \\ J_w \end{bmatrix} \dot{q}(t)$$

Como apenas nos interessa a velocidade linear, vamos considerar apenas o  $J_v$ .

Assim:

$$J_v = [J_{v1} \ J_{v2} \ \dots \ J_{vn}], \quad J_{vi} = \begin{cases} z_{i-1}^0 \times (o_n^0 - o_{i-1}^0) & \text{- articulação rotativa} \\ z_{i-1}^0 & \text{- articulação prismática} \end{cases}$$

Como temos apenas articulações rotativas consideramos apenas a primeira linha do sistema apresentado anteriormente.

A matriz de transformação homogênea obtida na cinemática direta está sob a forma de:

$$H = \begin{bmatrix} R & d \\ 0 & 1 \end{bmatrix}$$

A partir das  ${}^0A_1$ ,  ${}^0A_2$  e  ${}^0A_3$  é possível retirar as matrizes  ${}^0R_0$ ,  ${}^0R_1$ ,  ${}^0R_2$ ,  ${}^0d_1$ ,  ${}^0d_2$  e  ${}^0d_3$ , uma vez que a matriz Jacobiana irá ser calculada por:

$$\begin{bmatrix} \dot{x} \\ \dot{y} \\ \dot{z} \end{bmatrix} = \begin{bmatrix} {}^0R_0 \begin{bmatrix} 0 \\ 0 \\ 1 \end{bmatrix} (d_3^0 - d_0^0) & {}^0R_1 \begin{bmatrix} 0 \\ 0 \\ 1 \end{bmatrix} (d_3^0 - d_1^0) & {}^0R_2 \begin{bmatrix} 0 \\ 0 \\ 1 \end{bmatrix} (d_3^0 - d_2^0) \end{bmatrix} \begin{bmatrix} \theta_1 \\ \theta_2 \\ \theta_3 \end{bmatrix}$$

Obtendo-se:

$${}^0R_0 = \begin{bmatrix} 1 & 0 & 0 \\ 0 & 1 & 0 \\ 0 & 0 & 1 \end{bmatrix} \quad {}^0R_1 = \begin{bmatrix} C1 & 0 & -S1 \\ S1 & 0 & C1 \\ 0 & -1 & 0 \end{bmatrix} \quad {}^0R_2 = \begin{bmatrix} C1C2 & -C1S2 & -S1 \\ S1C2 & -S1S2 & C1 \\ -S2 & -C2 & 0 \end{bmatrix}$$

$$d_3^0 = \begin{bmatrix} 0,325C1C2C3 - 0,325C1S2S3 + 0,4C1C2 \\ 0,325C3C2S1 - 0,325S1S2S3 + 0,4C2S1 \\ 0,325S3C2 + 0,325C3S2 + 0,4S2 + 0,55 \end{bmatrix} \quad d_2^0 = \begin{bmatrix} 0,4C1C2 \\ 0,4S1C2 \\ -0,4S2 + 0,55 \end{bmatrix} \quad d_1^0 = \begin{bmatrix} 0 \\ 0 \\ 0,55 \end{bmatrix}$$

Efetuada os cálculos, é possível obter a seguinte matriz Jacobiana:

$$\begin{bmatrix} \dot{x} \\ \dot{y} \\ \dot{z} \end{bmatrix} = [1^{\text{a}} \text{ Coluna } (J1) \quad 2^{\text{a}} \text{ Coluna } (J2) \quad 3^{\text{a}} \text{ Coluna } (J3)] \begin{bmatrix} \theta_1 \\ \theta_2 \\ \theta_3 \end{bmatrix}$$

$$[J1] = \begin{bmatrix} -0,325C3C2S1 + 0,325S3S1S2 - 0,4C2S1 \\ 0,325C3C1C2 - 0,325C1S2S3 + 0,4C2C1 \\ 0 \end{bmatrix}$$

[J2]

$$= \begin{bmatrix} 0,325C1C2S3 + 0,325S2C3C1 + 0,4S2C1 \\ 0,325S3C2S1 + 0,325C3S2S1 + 0,4S2S1 \\ -0,325C3C2S1S1 + 0,325S1S1S2S3 - 0,4C2S1S1 - 0,325C1C1C2C3 + 0,325C1C1S2S3 - 0,4C1C1C2 \end{bmatrix}$$

$$[J3] = \begin{bmatrix} 0,325S3C2C1 + 0,325C3S2C1 + 0,8S2C1 \\ 0,325S3C2S1 + 0,325C3S2S1 + 0,8S1S2 \\ -0,325C3C2S1S1 + 0,325S1S1S2S3 - 0,325C1C1C2C3 + 0,325C1C1S2S3 \end{bmatrix}$$

Sabendo que:

Velocidades do efector = Matriz Jacobiana \* Velocidades das articulações,  
então:

Velocidades das articulações = Matriz Jacobiana Invertida \* Velocidades do efector

## 4.2. Simulador

Em relação à implementação de código, foram implementadas uma função principal e várias subfunções auxiliares de modo a tornar o código mais limpo e modular. Abaixo descrever-se-á e mostrar-se-á o corpo de cada função bem como o seu papel.

A função principal *ComputeJointVelocities* recebe como entrada um vetor coluna das velocidades lineares desejadas ( $V_x$ ,  $V_y$ ,  $V_z$ ) para o efetuador e responde com duas possíveis saídas, dependendo de a condição de singularidade do manipulador ter sido atingida ou não.

Num breve resumo, a condição de singularidade atinge-se quando uma determinada configuração solicitada pelo controlador ao manipulador não pode ser atingida. Esta situação pode ser atingida, por exemplo, quando o braço do robô está completamente esticado e é solicitada uma posição no seu espaço de trabalho para o qual ele já não chega, porque atingiu os limites do seu comprimento.

Para converter velocidades do efetuador em velocidades de articulações é necessário inverter a matriz do jacobiano, como se pode verificar no capítulo 4.1., e isso implica uma divisão pelo determinante do jacobiano. Acontece que o determinante do jacobiano em configurações de singularidade aproxima-se de zero, o que implica que se tenha de fazer uma divisão por zero e se atinjam valores incontroláveis de velocidades nas articulações. Em conclusão, para controlar a situação de singularidade é necessário verificar o valor do determinante para que não aconteçam, por exemplo, num contexto real, danos na hardware.

As duas possíveis saídas da função são:

- Se atingida a condição singularidade é retornada uma matriz nula de dimensão 3 e o cálculo não é efetuado;
- Caso contrário, faz a inversão da matriz e retorna a multiplicação da matriz inversa pelo vetor coluna das velocidades, ou seja, a velocidade das articulações.

Abaixo um screenshot da função *ComputeJointVelocities*:

---

```

// Using the inverted jacobian computes and returns the joint velocities
// Takes as input the desired velocity of the end effector
function ComputeJointVelocities(endEffectorVelocity: matrix): matrix;
var
    Jacobian :matrix;
    invertedJacobian :matrix;
begin
    Jacobian := computeJacobian;
    //Check singularity
    if checkSingularity(Jacobian) then begin
        result := Mzeros(3,1);
    end
    else begin
        invertedJacobian := Minv(Jacobian);
        result := Mmult(invertedJacobian, endEffectorVelocity);
    end;
end;

```

No corpo da função *ComputeJointVelocities* encontramos mais duas funções que houve necessidade de implementar.

A função *checkSingularity* tem como papel a verificação do valor do determinante do jacobiano. Recebe como entrada a matriz do jacobiano e retorna um booleano que indica se a singularidade foi atingida ou não. Se o valor estiver muito próximo de zero, a variável booleana *singularity* é ativada, sinalizando que se atingiu a condição de singularidade. A verificação do valor efetua-se em função de um valor limite de tolerância. Este valor foi arbitrado por tentativa-erro e definido como constante no programa, tendo em atenção o robô conseguir sempre verificar a condição de singularidade a tempo (com tempo suficiente para ser processado pelo tempo do ciclo de controlo de cerca de 40ms).

Um snapshot da função *checkSingularity* abaixo:

```

function checkSingularity(jacobian :matrix): boolean;
begin
    if abs(Mdet3x3(Jacobian)) < singularity_tolerance then begin
        singularity := true;
        result := true;
    end
    else begin
        singularity := false;
        result := false;
    end;
end;

```

Verificamos também a função *computeJacobian*, abaixo, que calcula e retorna o jacobiano:

```
function computeJacobian: matrix;
var
    Theta1, Theta2, Theta3: double;
    A01, A12, A23, A02 ,A03: matrix;
    R00,R01,R02 :matrix;
    d00, d01, d02, d03: matrix;
    ZColumnVector: matrix;
    Jv1, Jv2, Jv3: matrix;
    A, B: matrix;
    Jacobian :matrix;
    invertedJacobian :matrix;
begin
    //Z unit vector
    ZColumnVector := Mzeros(3,1);
    Msetv(ZColumnVector, 2, 0, 1);

    //Current angles of the joints
    Theta1 :=.GetAxisPos(irobot, 0);
    Theta2 :=.GetAxisPos(irobot, 1);
    Theta3 :=.GetAxisPos(irobot, 2);

    //Compute the Homogeneous Transformation Matrixes using DH method
    A01 := DHMat(0, -pi*0.5, d1 , Theta1);
    A12 := DHMat(d2, 0, 0, Theta2);
    A23 := DHMat(d3, 0, 0, Theta3);

    //Jacobian columns
    //Jv1
    R00 := Meye(3);
    A02 := MMult(A01,A12);
    A03 := MMult(A02,A23);
    d03 := MCrop(A03, 0, 3, 2, 3);
    d00 := Mzeros(3,1);
    A := MMult(R00, ZColumnVector);
    B := Msub(d03, d00);
    Jv1 := crossProduct(A, B);

    //Jv2
    R01 := MCrop(A01, 0, 0, 2, 2);
    d01 := MCrop(A01, 0, 3, 2, 3);
    A := Mmult(R01, ZColumnVector);
    B := Msub(d03, d01);
    Jv2 := crossProduct(A, B);

    //Jv3
    R02 := MCrop(A02, 0, 0, 2, 2);
    d02 := MCrop(A02, 0, 3, 2, 3);
    A03 := Mmult(A02, A23);
    d03 := MCrop(A03, 0, 3, 2, 3);
    A := Mmult(R02, ZColumnVector);
    B := Msub(d03,d02);
    Jv3 := crossProduct(A, B);
```



```

Jacobian := Mzeros(3,3);
Msetv(Jacobian, 0, 0, Mgetv(Jv1, 0, 0));
Msetv(Jacobian, 1, 0, Mgetv(Jv1, 1, 0));
Msetv(Jacobian, 2, 0, Mgetv(Jv1, 2, 0));
Msetv(Jacobian, 0, 1, Mgetv(Jv2, 0, 0));
Msetv(Jacobian, 1, 1, Mgetv(Jv2, 1, 0));
Msetv(Jacobian, 2, 1, Mgetv(Jv2, 2, 0));
Msetv(Jacobian, 0, 2, Mgetv(Jv3, 0, 0));
Msetv(Jacobian, 1, 2, Mgetv(Jv3, 1, 0));
Msetv(Jacobian, 2, 2, Mgetv(Jv3, 2, 0));

printValue(Mdet3x3(Jacobian),15,1);
result := Jacobian;
end;

```

O produto cruzado de matrizes, o cálculo do determinante de matrizes de dimensão 3 e uma função de reinicialização do robô para o caso de singularidade foram também implementadas como funções auxiliares (*crossProduct*, *Mdet3x3* e *reset*), representadas abaixo:

```

function crossProduct(Matrix1, Matrix2: matrix): matrix;
var
a,b,c,d,e,f: Double;
crossProductMatrix: matrix;
begin
a := Mgetv(Matrix1,0,0);
b := Mgetv(Matrix1,1,0);
c := Mgetv(Matrix1,2,0);
d := Mgetv(Matrix2,0,0);
e := Mgetv(Matrix2,1,0);
f := Mgetv(Matrix2,2,0);

crossProductMatrix := Mzeros(3,1);
Msetv(crossProductMatrix, 0, 0, b*f - e*c);
Msetv(crossProductMatrix, 1, 0, c*d - a*f);
Msetv(crossProductMatrix, 2, 0, a*e - b*d);

result := crossProductMatrix;
end;

function Mdet3x3(mat: matrix): double;
var
all,a12,a13,a21,a22,a23,a31,a32,a33: double;
begin
all := Mgetv(mat, 0,0);
a12 := Mgetv(mat, 0,1);
a13 := Mgetv(mat, 0,2);

a21 := Mgetv(mat, 1,0);
a22 := Mgetv(mat, 1,1);
a23 := Mgetv(mat, 1,2);

a31 := Mgetv(mat, 2,0);
a32 := Mgetv(mat, 2,1);
a33 := Mgetv(mat, 2,2);

result := (all*a22*a33 + a12*a23*a31 + a13*a21*a32) - (a31*a22*a13 + a32*a23*a11 + a33*a21*a12);
end;

```

```

//Reset the joints angles to a predefined position under constant values named:
// initial_angle_joint0
// initial_angle_joint1
// initial_angle_joint2
procedure reset;
var initialThetas: matrix;
begin
    initialThetas := Mzeros(3,1);
    Msetv(initialThetas, 0, 0,rad(initial_angle_joint0));
    Msetv(initialThetas, 1, 0,rad(initial_angle_joint1));
    Msetv(initialThetas, 2, 0,rad(initial_angle_joint2));
    SetThetas(initialThetas);
end;

```

Na *sheet* o utilizador define as velocidades lineares desejadas (neste exemplo:  $V_x = 1\text{cm/s}$ ,  $V_y = -1\text{cm/s}$ ,  $V_z = 0\text{cm/s}$ ):

SetVelocity
1
-1
0

Na *sheet* o utilizador observa as velocidades das articulações calculadas pelo método do jacobiano inverso (neste exemplo:  $v_1 = -2.12\text{cm/s}$ ,  $v_2 \sim 0\text{cm/s}$ ,  $v_3 \sim 0\text{cm/s}$ ):

Vjoints	
v1:	-2.121938
v2:	-0.0000163476
v3:	0.000034041

Para terminar, abaixo mostram-se as constantes definidas para o problema do jacobiano:

- Duration\_speed\_simulation: a duração do tempo em que se simula a velocidade solicitada pelo utilizador. Neste exemplo são 10 segundos;
- initial\_angle\_joint0, initial\_angle\_joint1, initial\_angle\_joint2: Os ângulos iniciais da configuração do braço quando adota uma posição de repouso. Neste exemplo são  $45^\circ$  na articulação 0,  $30^\circ$  na articulação 1,  $-40^\circ$  na articulação 2;
- singularity\_tolerance: a tolerância que se atribui ao valor do determinante do jacobiano em que já se considera que se atingiu singularidade;

```

Duration_speed_simulation = 10;
initial_angle_joint0 = 45;
initial_angle_joint1 = 30;
initial_angle_joint2 = -40;
singularity_tolerance = 4e-2;

```

## **5. Conclusões**

Considerou-se que o trabalho que nos foi proposto foi bem conseguido, uma vez que se atingiram todos os objetivos pretendidos.

Foi uma oportunidade de consolidar e de aplicar os conceitos relacionados com as cinemáticas e o jacobiano, já que, através do uso do simulador e da visualização gráfica da implementação, tornou-se clara e intuitiva a teoria por trás dos métodos.